

# 鋁 合 金

第二機械工業部第四〇研究所

1957

6 8973

# 鋁 合 金

內部資料



第二機械工業部第四〇研究所

1957

## 出 版 者 的 話

本書系根據蘇聯國防工業出版社（ОБОРОНГИЗ）1955年出版的鋁合金  
(АЛЮМИНИЕВЫЕ СПЛАВЫ) 一書翻譯的。

本書由楊復麟、劉翰英、朱峰三位同志翻譯，並由吳云書教授等作了技  
術審查。

**АЛЮМИНИЕВЫЕ**

СПЛАВЫ

鋁 合 金

譯者 楊復麟 劉翰英 朱 峰  
第二機械工業部第四〇研究所出版  
1957年5月第一版・第一次印刷  
共446千字・插圖共2頁  
書號103—6—13

# 目 录

工厂二十年	9
A·Ф·別洛夫著 楊復麟譯	
关于錳对鋁合金組織和性能的影响	11
C·M·伏龙諾夫、В·И·伊拉金和T·A·弗拉索娃著 楊復麟譯	
Al-Mn系平衡圖和某些含錳的三元鋁合金的相变	11
关于鋁合金挤压效应的实质	20
关于AM <sub>2</sub> 合金板材半成品的粗大結晶組織	34
关于AK5合金挤压件和模压件断口的片層狀組織	45
参考文献	48
熔融金屬結晶时所觀察到的現象利用的新範圍	49
Д·А·彼得羅夫和А·А·布汗諾娃著 楊復麟譯	
过程原理	50
实验工作	53
实验的条件和方法	53
沿試样長度上含銅量的变化	54
上述方法可能应用的范围	58
参考文献	60
合金組織的变質处理	61
М·В·馬里采夫著 楊復麟譯	
初晶粒的变質处理（细化）	62
一些理論前提	62
某些工业合金变質处理的試驗	65
变質效应对合金机械性能和工艺性能的影响	76
脆的金属間化合物相初次析出物的变質处理	79
概述	79
鋁合金中含鉄相变質处理的試驗	79
变質效应对合金的机械性能的影响	80
易熔相的变質处理	82
易熔相变質处理的某些理論前提	82

含易熔相的合金组织的变质处理试验	83
参考文献	88
 制造铝合金板材用的大型铸锭的铸造	89
B·A·李瓦諾夫著 刘翰英译	
扁锭上裂纹的型别	90
铸锭中应力的分布	92
铸锭形状及拉降速度对裂纹形成的影响	94
底部裂纹防止法	98
顶部裂纹防止法	99
侧部裂纹防止法	100
铸造工艺规程	101
表面裂纹及其防止法	103
合金的化学成分对裂纹形成的影响	106
Al6和Al1合金	106
纯铝	108
AMn合金	110
阿维型合金	111
Al-Mg 合金	111
减少产生裂纹危险的几种工艺措施	112
 制造铝合金管材用的空心锭的铸造	116
B·H·陀巴特肯著 刘翰英译	
空心锭连续铸造的特点	116
空心锭的结晶条件	116
空心锭中的裂纹	119
空心锭的组织	122
空心锭的机械性能	125
工具的选择和计算	126
铸锭的铸造规范及尺寸	127
 直径大于 500 公厘的圆锭的铸造	128
B·И·陀巴特肯和Е·Г·沙福洛娃著 刘翰英译	
试验锭的铸造	128
结晶过程的研究	131
凹底的深度	131
结晶的计算速度	132
由液态到固态的过渡区域的尺寸及形状	133
铸锭的线收缩率	133

鑄錠中的裂紋.....	134
对于鑄錠表面的意見.....	134
鑄錠質量的研究.....	134
鑄錠截斷示意圖.....	134
鑄錠的組織.....	137
鑄錠的致密性及偏析不均一性.....	139
鑄錠的機械性能.....	139
鑄錠的鍛造及鍛件性能的研究.....	142
用連續鑄造法所鑄的鑄錠的鍛件.....	142
用浸入法所鑄的鑄錠制成的鍛件.....	143
實驗數據的討論.....	144
結晶的主要參數及與鑄造性能有關的某些性能.....	144
機械性能.....	145
大型鑄錠鑄造方法的選擇.....	145
<b>用連續鑄造法試鑄B95合金扁錠.....</b>	<b>147</b>
И.Н.弗里德拉基爾、Ф.В.吐拉金、В.З.薩哈洛夫和И.А.普洛斯托夫著 刘翰英譯	
鑄錠液面的高度、澆注速度及均勻化對於裂紋顯現的影響.....	147
澆注鑄錠用的裝置.....	147
預先試驗.....	148
繼續試驗.....	152
特形結晶器的研究.....	156
在高度為400公厘的硬鋁結晶器中鑄造鑄錠.....	156
在帶有端面夾板的銅結晶器中鑄造鑄錠.....	158
在寬面帶有不完全切口的銅結晶器中鑄造鑄錠.....	159
在寬面帶有完全切口的銅結晶器中鑄造鑄錠.....	160
在窄面帶有切口的結晶器中鑄造鑄錠.....	160
B95合金扁錠的機械性能.....	161
鑄錠中的偏析.....	162
<b>關於B95合金扁錠上裂紋顯現的原因.....</b>	<b>165</b>
И.Н.弗里德拉基爾、Ф.В.吐拉金、В.З.薩哈洛夫和И.А.普洛斯托夫著 刘翰英譯	
<b>鎳合金半成品淬火用的現代熱處理設備.....</b>	<b>177</b>
Р.И.巴爾巴涅里著 刘翰英譯	
對流加熱的特徵.....	179
制件在空氣循環爐中加熱時間的計算方法.....	181
關於空氣循環爐中的溫度差.....	185
淬火時制件的冷卻.....	186

氣流溫度的測量.....	189
爐子的空氣循環系統.....	190
空氣循環爐的結構.....	192
爐子的溫度規範及熱規範.....	193
淬火產品的性能.....	194
機械性能.....	194
組織.....	195
腐蝕性能.....	196
參考文獻.....	198
 有“彼特羅夫鎖閉端”的連續鑄造扁錠的橫軋.....	199
H·И·斯魏杰-施維茨著 朱 峰譯	
軋制方向上扁鍛截面變形的不均勻性和采用Д·А·彼特羅夫鎖閉端 的必要性.....	199
橫展的特性及軋制板材時扁鍛立軋的必要性.....	200
扁鍛的橫軋（不經反復的橫向及縱向軋制）.....	202
 AK4-1合金模壓件的生產工藝及性能.....	205
B·И·陀巴特肯、K·Н·克魯彼尼鄭和З·Н·切耳乃赫著 朱 峰譯	
合金成分.....	205
鑄錠的鑄造工藝.....	206
模壓件的製造工藝.....	209
AK4-1合金模壓件組織的特點.....	213
AK4-1合金模壓件組織和性能方面的統計數據.....	219
低倍組織和顯微組織.....	219
斷口的組織.....	220
機械性能.....	222
參考文獻.....	223
 在壓力機和鍛錘上進行模壓的鋁合金模壓工藝的比較研究.....	224
B·C·李馬爾著 朱 峰譯	
П8零件實驗批的製造和研究.....	225
在壓力機和鍛錘上製造C76零件實驗批.....	226
毛坯的截取.....	226
毛坯的鐵粗.....	226
模壓.....	227
修整工序.....	228
C76零件質量的研究.....	229

技术經濟指标	232
参考文献	234
<b>生产硬铝挤压型材的两种工艺方法的比較研究</b>	<b>235</b>
B·A·崔倩柯著 朱 峰譯	
型材实验批的制造	236
型材实验批的研究	239
型材两种挤压方法的技术經濟指标	241
型材	241
成品生产率	241
工資	242
廢品損失	242
成本	243
<b>在長心棒上拉制輕合金管材的远景</b>	<b>245</b>
H·A·伊沙柯夫著 朱 峰譯	
在長短心棒上拉制时变形的特性	245
在長心棒上拉制时所需的工具和设备	246
我厂在長心棒上拉制輕合金管材的初步經驗	248
<b>鋁合金管材和型材的表面氧化</b>	<b>250</b>
E·B·康斯坦季諾娃著 朱 峰譯	
型材上的暗斑	250
管材上的暗斑	254
<b>軋制和光軋薄板材用軋輥复杂型面的設計及其計算方法</b>	<b>256</b>
Н·И·斯魏杰·施維茨著 朱 峰譯	
軋輥产生彈性弯曲时軋輥間空隙的修正（消除变形）	256
輥間間隙彈性翹曲的修正	263
参考文献	265
<b>AK6及AK6-1合金模压件的試制經驗</b>	<b>266</b>
Ф·В·屠梁金、И·Н·夫里得梁杰尔、В·З·扎哈洛夫和Ф·Ф·安得里諾夫著 朱 峰譯	
用普通的鐵粗法以AK6合金鍛制造压缩机叶輪模压件	266
用AK6合金挤压毛坯制造压缩机叶輪模压件	267
用鍛造毛坯制造压缩机叶輪模压件	273
提高金属純度的工作	285

本書附有以下插頁

插頁1 (第58頁后)

圖 19 測量顯微硬度時在試片上所打印痕的顯微照片，試片是由含 4 % 銅的熔融合金中得到的可變成分試樣的各個區域取的，拉伸速度為 0.17 公厘/分， $\times 300$

插頁2 (第60頁后)

圖 22 自含 0.9% Mn 的熔融合金中得到的可變成分試樣的各個區域取的試片的顯微照片，拉伸速度為 0.17 公厘/分， $\times 300$

圖 23 含 0.17% 鐵和 0.17% 砂的原始鉛的試片的顯微照片（左）和由同樣成分的熔融合金中得到的可變成分試樣的各個區域取的試片的顯微照片，拉伸速度為 0.17 公厘/分， $\times 300$

## 工 厂 二 十 年

革命前的俄国沒有生产鋁和輕合金的工厂。当时在古里楚金工厂有一批工程师曾对試制硬鋁的生产进行过研究工作，但这一工作并沒有得到沙皇政府和工厂占有主們的支持，因为他們違反了主宰俄国有色冶金業的国外資本家的利益。

只有在十月社会主义革命以后，才开始了輕合金的生产組織工作。在古里楚金、莫斯科（指都克斯工厂）、列宁格勒出現了不少的小型工場，而后是一些車間，在这些地方进行了創立祖国輕合金的初次嘗試。这些車間的技术裝备是極端簡陋的，金屬的熔煉是在坩埚焦炭爐中进行的，完全沒有机械化。在一个相当長的时间內，仅能出產重20公斤以下的鍛材。生产的規模很小。『都克斯』工厂的全部冶金生产化学實驗室只容納在一間面积約为30平方公尺的屋子里，金相實驗室所占面积則更小。

虽然如此，但就在这个时期和这样一个困难的条件下，开始规划了發展祖国輕合金半成品生产的工业，并为这些合金的制造和加工工艺創立了科学的基础。

根据第十四次党代表大会关于第一个五年計劃期間国家工業化的历史性決議，拟定了建立鋁厂和輕合金生产和加工工厂。

我們國家在創立生产輕合金的大型工業企業方面缺乏經驗，这样就严重地阻碍了我們設計新型工厂。在走过的一段生产道路中，我們只能制定一些工艺圖表和确定生产的基本原則，但对建立最新技术的綜合工業企業是非常不够的。

看来，似乎設計新型工厂唯一的道路是利用国外的經驗。

經過我們的工程师对欧洲类似工厂的情况进行了解以后指出，他們的技术不能作为建立近代化的先进企業的設計基础。

当时美国的工厂，特別在制鋁工业上已占据了壟斷康采恩地位的『制鋁公司』的工厂内有着相当高的生产技术水平。

苏維埃的組織与美国的公司开始进行了談判，估計有可能簽訂一个关于工厂設計和供給设备的技术援助合同。但是壟斷资本家却采取了各种花招，不許可美国的專家在苏維埃联邦参与建立工厂。

事实很明显，帮助是無从期待的。在苏維埃知識分子的面前摆着一个艰巨的任务，这个任务就是要他們为祖国自立更生地建立完全先进的生产設計、选择设备、安装、制定新的工艺过程、到最后企業开工，所有这些都是苏維埃人民用自己的双手完成的。

1933年苏联的第一个生产和加工輕合金的工厂开工了。

寬敞的厂房、电爐设备、最大型的三輥軋压机、軋制帶材所用的多輥軋压机、大功率压床、利用这些设备所拟定的新式工艺、所建立的規模宏大的研究中心和實驗室，所有这些事實不仅得到欧洲工厂的贊揚，即使那些曾經高談闊論着『布尔什維克在俄国建立鋁厂的企圖是徒然的』、那些『制鋁公司』的工厂也在羨慕着。

不只是一个鋁厂，而是許多鋁厂被建立起来了。

這是我們人民的巨大勝利，國家工業化政策的勝利。

工廠的設計和掌握，是為爭取新的先進的鬥爭，其鬥爭的結果鍛煉了新型工業部門的全體工人和專家們，我們現在的紀念會正是為了慶祝這些成就而舉行的。這個集體中包括了「都克斯工廠」和其他工廠車間里輕合金生產範圍內工作的創始人和大群的青年專家。他們飛速的掌握了新的技術，並以批判的態度精通了它們，這就為進一步的技術高漲創造了基礎。

隨着工廠的開工，蘇維埃的飛機製造業和航空發動機製造業獲得了大踏步前進的可能。曾經關於如何廣泛應用鋁合金模壓件的問題解決了。對生產模壓葉片、機匣、活塞和其他零件的試制工作就預先決定了祖國發動機製造業的全部階段。工廠已為新品種的板材和挤压型材作了大批生產的安排，這就為飛機的新型構造的生產發展創造了先決條件。

工廠全體人員、生產工作者、研究員和實驗室的工作人員同飛機和發動機設計師們是在緊密合作的情況下進行工作的。這種傳統普及到了我們其他生產輕合金的各個工廠中。

在工廠的成長過程中，會有過重重的困難。譬如，試制某些新型產品。但是在企業經歷過的全部困難階段中，全體工作人員都能正確地了解到當時的環境，並善于揭露和改正錯誤，最後達到成功。

如同我們工業中的所有部門一樣，生產輕合金的工廠在衛國戰爭中受到了嚴重的考驗。如何保證作戰飛機的金屬的生產，決定於當時航空工業冶金學家所進行的全部工作。

這些工廠的全體人員，包括工人、工長、工程師，肩負起了這些復雜的任務。在極端困難的條件下，他們拆除了所有的設備，將其遷移至新的地址並重新安裝起了工廠的設備。用極短的時間整頓了生產，逐日地增長着前線所必需的金屬產量。

戰爭期間，生產輕合金的工廠不間斷地給航空工業供應了金屬。有兩個工廠的全體人員獲得了列寧勳章的獎勵，其中一個工廠還一直保存着國家國防委員會的獎旗。

在戰爭的年代里，這些工廠的全體人員解決了一系列重大的技術問題。這個期間，在擴展的計劃中曾研究過連續鑄造的原理，採用了圓錠的鑄造並為扁錠的採用作了準備。頑強地解決了工序（熔煉、鑄造、模壓、軋制、挤压等）中一系列提高勞動生產率的問題。在這些年代里更多的工廠工作人員成長了起來，譬如，特別是經過戰爭鍛煉的許多干部和在克服困難當中培養出來的干部。

工廠參加會議的全體人員堅決地解決黨所提出掌握新技術的任務，堅忍不拔地去試制大量的新機種所用的各種型材。

戰後，工廠和科學院共同研究出了B95新型合金，這種合金在幾種主要合金中占有顯著的位置。

為蘇聯共產黨第十九次代表大會決議所鼓舞的光榮的工廠全體人員，毫無疑義地在為提高航空工業用金屬生產的鬥爭中，為爭取提高金屬質量的鬥爭中，將獲得進一步的勝利。

## 关于锰对铝合金组织和性能的影响

锰是轻合金所用的组元中最老的一种元素。众所周知，远在1908年A·威尔姆就在自己的硬铝典型成分中规定了锰的含量。在许多近代工业用的合金中都加有锰：高强度的硬铝Al6、Al16和AlK8，锻造合金AK5和AK6，铝镁合金(AMg、AMg5B、AMg6T、Al13)，热处理能强化的砂铝敏合金(Al4和Al3)，高强度铝合金B95及大部分的镁合金(Mg3、Mg4、Mg5、Mg6、Ma2、Ma3、Ma5)。在近代作为焊接结构的某些铝合金和镁合金中(AMg、Ma1、Ma8和Mg2)，锰也是一种主要的添加物。然而，不论锰应用的如何广泛，它始终被認為是一种次要的组元。一般都認為锰在轻合金中的作用是有限的，或者增高一些抗蚀性，或者在结晶时细化晶粒，或者在淬火时略起强化的作用，或者稍加改善铸造的组织。现以砂铝敏Al4为例来说明后一种情况。锰在Al4合金中应与铁结合成四元相(Al-Mn-Fe-Si)，根据文献中的资料，它将结晶成密集的形状，而不是铝铁相或Al-Fe-Si三元相的粗针状晶体。

下面我们将证明，锰作用的这种特点并不是常常正确的。根据合金的成分、铸造条件、塑性变形和热处理，锰既可以急剧地影响制件的组织和性能，也可以不起显著的影响。

虽然曾对含有锰的二元和更复杂的轻型合金平衡图进行过许多研究工作，但对锰作为这些合金的一个组元的意义来说，到目前为止还不清楚。过去对锰的作用估计不足，而在许多情况下又是相互矛盾的。毫无疑问，工业合金不平衡的结晶条件和合金中含锰量较低，是这种估计不足和自相矛盾的主要原因之一。仅在最近五年来，才在锰对各种铝合金半成品组织和性能的影响方面以及在这种影响下各种特性的原因方面进行了许多较详细的研究。

我们的工作是确定一系列变形铝合金在组织和性能的某些特点方面，锰所起的作用。

现在，我们只着重对于锰在生产各种铝合金半成品时，具有决定意义的一些现象讨论一下。本文中将論述一系列铝合金的挤压效应，AMg合金板材半成品中的粗结晶组织和AK5合金模压件断口的片层状组织等方面的问题。

### Al-Mn系平衡圖和某些含锰的三元铝合金的相变

研究Al-Mn平衡圖的时候，必须涉及到笛克斯和凯伊史①在测定共晶体的成分和熔点以及Mn在铝中固态溶解度曲线的研究。

他们和所有过去的研究者们(吉依、哈得里赫氏、洛节卡依等)不同，他们采用了更纯的金属(含0.02%Cu, 0.012%Fe和0.013%Si)进行研究。根据他们繪制的平衡圖，Al-Mn系共晶体含有2.2%的Mn，熔点为657°C。在657、600、550、500和200°C时，锰的溶解度各为0.65、0.3、0.25、0.15和小于0.14%。在笛克斯、芬卡和维列②的晚年研究工作中，曾应用了更纯的金属，其共晶体的熔点为658.5°C，Mn在Al中的固态溶解度在658.5、626、570和

① E·Dix a. W·keith, Proc. Inst. Met. Div. of Amer. Inst. Min. Met. Eng., P. 315, 1927.

② E·Dix, W·Fink a. L·Willey, Proc. Inst. Met. Div. of Amer. Inst. Min. Met. Eng., P. 335, 1933.

500°C时各为1.82（用外推法算出）、1.35、0.75和0.36%（图1）。

Mn在固态铝中的固态溶解度数值较低，在笛克斯和凯伊史以前的研究工作中，曾用形成Al-Mn-Fe相来解释。在710°C以上和以下初次析出的相成分曾确定为Al<sub>6</sub>Mn(25.35%Mn)和Al<sub>4</sub>Mn(33.74%Mn)。曾确定Al<sub>4</sub>Mn+熔融物=Al<sub>6</sub>Mn的包晶转变温度在冷却时为678°C，在加热时为710°C。710°C即为平衡温度。

Al<sub>6</sub>Mn化合物结晶成斜方系，其显微硬度为H<sub>5μ</sub>=540公斤/公厘<sup>2</sup>。Al<sub>4</sub>Mn化合物属于六方系，其显微硬度为H<sub>5μ</sub>=778公斤/公厘<sup>2</sup>。

Al-Mn系平衡图的特点如下：

a. 固溶体的垂直结晶间隔非常小，约为0.5—1°C。

b. 水平结晶间隔宽度很大，这就在不平衡的结晶条件下生成晶内偏析现象。

b. 镁在共晶温度时具有相当高的溶解度，在450—550°C温度范围内冷却时，这种溶解度将急剧降低，众所周知，这个温度范围内包括用热处理能强化的近代工业用铝合金的淬火和其他热处理的全部温度范围。

当Al-Mn合金迅速冷却和高速结晶时，所进行的结晶与缓慢冷却时不同。此时，就有过饱和的α-固溶体和Al<sub>4</sub>Mn的结晶而没有Al<sub>6</sub>Mn。随后在加热时，Al<sub>4</sub>Mn即转变成Al<sub>6</sub>Mn稳定相，而过饱和的α-固溶体以Al<sub>6</sub>Mn的形式析出多余的镁。当结晶的速度很小时，Al<sub>6</sub>Mn即直接从熔融的合金中结晶出来。如以中等速度结晶时，就将成层地结晶出Al<sub>6</sub>Mn的稳定结晶和Al<sub>4</sub>Mn的介稳定结晶。

图2是根据哈尼曼和什拉吉尔①的研究所绘制的Al-Mn系介稳定平衡图。在Em点时，产生α+Al<sub>4</sub>Mn的共晶体，且α-固溶体内含有过饱和的镁。在加热过程中，当Al<sub>4</sub>Mn转变成Al<sub>6</sub>Mn时，就将在每一个Al<sub>4</sub>Mn的晶体中产生无数的Al<sub>6</sub>Mn晶体。

关于Mn在Al中形成过饱和固溶体的可能性，苏联和外国的研究者们都进行过一系列的工作。E·C·什皮琴尼金、И·Л·罗杰别和B·B·楚托科②都对硬模中铸造的、并以高速进行冷却③的铝镁合金（14%以下的Mn）的组织和电性作过研究。

关于电阻和温度系数随锰含量而改变的性能，可从图3的曲线判断。显微组织的研究证明，镁相的初次析出物只有在硬模中铸造的、含镁为3%的合金中才会出现，而在快速冷却的铸造合金中，当含3.65%Mn时才会出现。高温下退火将使电阻降低并使温度系数增大。作者的结论是，当在硬模中铸造时，特别在快速冷却时，就能创造急剧过冷的条件，引起共晶点向含镁量多的一方移动。在И·Н·弗利德吉尔和Н·С·苏伏洛夫的研究工作中亦获得了类似

① H. Hanemann u. A. Schrader, ternare Legierungen des Aluminiums. Atlas metallographischer Bildern, B. 111, T. 2-s. 119, 1952 (Düsseldorf).

② E·C·什皮琴尼金、И·Л·罗杰别和B·B·楚托科， сборник научных работ института Гипрометаллобиротка, вып. X11, Металлургиздат, 1950.

③ 作者并没有指出用何种方法达到高速冷却。

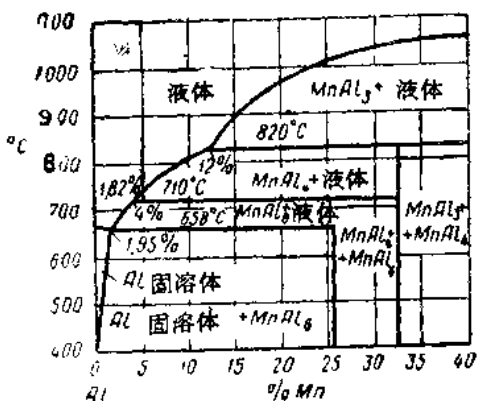


图1 Al-Mn平衡图（笛克斯、芬卡和维列）

的結果。

格弗曼測定出了在硬模中鑄造的Al-Mn合金中鋁固溶體的晶格常數，并確認它將連續減小（至4% Mn）。

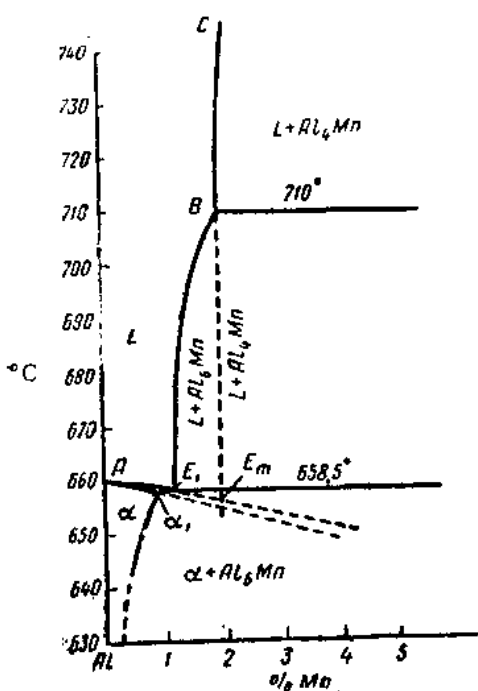


圖2 Al-Mn系中的介穩定平衡示意  
圖(哈尼曼和什拉吉爾)

1951年①，本文的几位作者曾对Al-Mn, Al-Cu-Mn, Al-Mg-Mn和复杂成分的合金如U16 固溶体晶格常数的变化与含锰量的关系进行过研究。在各种情况下，曾证实了随着含锰量增高到2%（重量），常数将减小。这种情况不论在連續铸造时的快速冷却下

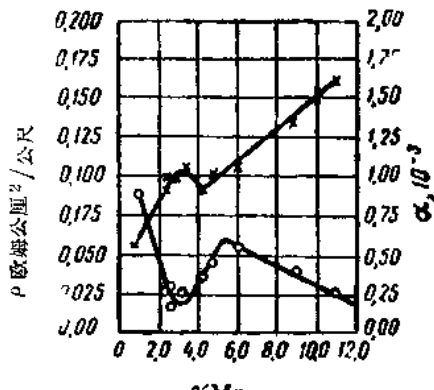


圖3 快速冷却时电阻及溫度系数的变化  
与含锰量的关系(什皮琴尼金、罗  
杰別及楚托科)

(用水直接將冷凝的鑄錠中的热量放出)，或在很低的結晶速度下都是一样。下面將說明所获得的晶格常数值(Al+2%Mn的合金,  $a=4.0364\text{\AA}$ )以及顯微組織分析的数据都証明了大部分锰在合金結晶后，仍留在固溶体中。此时，根据Al-Mn合金平衡圖，Mn在Al中的溶解度在室溫时接近于零。所有的合金在变形和热处理后，都証明其晶格常数显著的增大。

在格弗曼和法利凱汗金②最近的研究工作中，曾將Al-Mn合金进行高速冷却，即液态合金以 $25000^{\circ}/\text{秒}$ 以上的速度进行結晶，冷凝的合金③以 $\sim 5000^{\circ}/\text{秒}$ 的速度进行冷却。

由上面的研究証实，在鑄件的表層中，過饱和的固溶体含有極高量的锰（达到9.2%的Mn），也就是超过平衡溶解度值的5.7倍（圖4）。

別克來④曾进行过顯微組織的研究，証明了在鑄件較深的層中，Mn在Al中的溶解度大大地降低，因而呈现出初次锰。

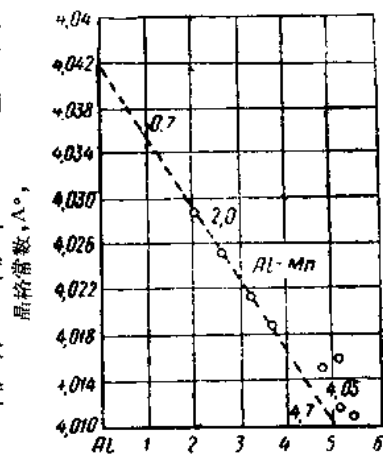


圖4 固溶体晶格常数的改变与含  
锰量的关系(格弗曼和法利凱汗  
金)

① 該論文曾于1951年6月在莫斯科航空工艺学院的科学技术會議上首次報告过。

② W.Hofmann u. Falkehageh, Zetschr.f.Metallkunde, B.43, №3, 1952.

③ 用液体空气冷却的一种吸热硬模 (Васасывающий кокиль)。

④ H.Bückle, Z.f.Metallkunde, B.43, №3, 1952.

相的析出物。与我們的試驗工作相同，格弗曼和法利凱汗金會用他們自己获得的合金进行过研究，証明了在 450—550° 溫度下退火数小时后，就將使过饱和固溶体分解，并急剧地增大晶格常数。这兩位研究者工作的最重要的結果是，他們确定了 Al-Mn 合金 ( $\sim 300^{\circ}\text{C}$ ) 比純鋁 ( $\sim 100^{\circ}\text{C}$ ) 有較高的过冷度。格弗曼和法利凱汗金認為当高速冷却时，由于 Al-Mn 合金具有很大的过冷度，因而在低于該合金熔点的溫度时具有形成鋁鑑相晶核的較大的功，这就能形成介稳定的固溶体。

在合金中如加有鐵就会影响鑑在  $\alpha$ -固溶体中的溶解度。一般，鐵与鋁合金中其他組元和杂质的相互作用对制成的半成品和制件的組織和性能影响很大。这种影响不仅关系到抗腐蝕性能，而且在許多情況下能引起鑄造性能、压力加工时合金的塑性以及淬火和时效时强化效应急剧降低。由于鋁及其合金中經常含有鐵和矽的杂质，因此，即使很簡略地討論一下 Al-Mn-Fe 和 Al-Mn-Si 三元系中的鑑同它們相互作用的特点也是必要的。近年来，杰吉什爾①和費利浦氏②曾对 Al-Mn-Fe 三元系中的鋁角 (Алюминиевый угол) 研究过。兩位研究者發現由  $\alpha + \text{Al}_8\text{Mn} + \text{Al}_3\text{Fe}$  組成的三元共晶点  $E_1$ ，恰好符合于成分比为 1.8 或 1.75% Fe 和 0.7 或 0.75% Mn，熔点为 654.1 或  $654^{\circ}\text{C}$ 。

不用詳細的討論該三元系中的相变，我們只想就鑑与鋁和鐵相互作用的兩個特点加以討論。首先，必須指出，根据許多研究者的数据知，即使很少量的鐵，也会急剧地降低鑑在  $\alpha$ -固溶体中的溶解度。

杰吉什爾在不同溫度下得出鑑在含鐵固溶体中的含量和晶格常数值如下：

$640^{\circ}\text{C}$   $\alpha = 4.0403\text{\AA}$ , 相当于 0.36% Mn;

$500^{\circ}\text{C}$   $\alpha = 4.0408\text{\AA}$ , 相当于 0.22% Mn;

$400^{\circ}\text{C}$   $\alpha = 4.0413\text{\AA}$ , 相当于 0.08% Mn。

采用外推法测出 654.1°C 时，Mn 在固溶体中的含量为 0.45%。

第二个重要的特点是，在  $\text{Al}_8\text{Mn}$  中可溶解相当数量的鐵，在含 14% Mn 时，鐵在  $\text{Al}_8\text{Mn}$  中的固溶体可达 13% (Fe)。根据萊伊諾爾③的研究， $\text{Al}_8\text{Mn}$  中的鑑可被鐵原子置換到一半。因此，最后的成分符合于分子式  $\text{Al}_8(\text{Mn}_{\frac{1}{2}}\text{Fe}_{\frac{1}{2}})$ 。由于鐵在  $\text{Al}_8\text{Mn}$  中的溶解度，产生了  $\alpha + \text{Al}_8\text{Mn}$  二相扩大区 (圖 5)，且  $\text{Al}_8\text{Mn}$  的顯微硬度由 540 增高至 704 公斤/公厘<sup>2</sup>。

然而，在  $\text{Al}_8\text{Fe}$  中，仅約  $1/10$  的鐵可以被鑑置換，因而急剧地縮小了  $\alpha + \text{Al}_8\text{Fe}$  二相区。

Fe 在  $\text{Al}_8\text{Mn}$  中的溶解能力使其在  $\text{Al}_8\text{Mn}$  中的固溶体呈現粗大的層狀晶体，严重地使工業合金的塔造塑性和强度性能惡化。因此，不能概括地說 Mn 对于含有鐵杂质的合金的組織和性能的作

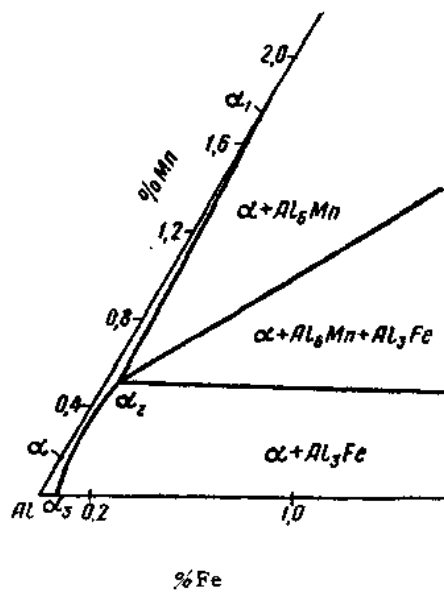


圖 5 在三元共晶的熔点时，在 Al-Fe-Mn 系的鋁角中相区的分布 (費利浦氏)

① E·Degischer, Aluminium-Arch, 1939.

② M·W·Phillips. L.J.Inst.Metals, v.69, 1943, p.275—316.

③ G·V·Raynor, J.Inst.Metals, V.70, 1944, p.531—542.

用是有利的，正如矽鋁敏合金中对各种含量加以相应的限制所产生的状况是一样的。

在C.M.伏龙諾夫和B.I.陀巴特肯①的研究中曾利用很多的实例証明了Fe在Al<sub>6</sub>Mn固溶体中所形成的粗大晶体的負作用。因此，就必须在某些合金中对锰和铁的含量加以限制。

因为Mn在 $\alpha$ -固溶体中的溶解度，即使铁杂质的含量不大也会急剧地降低。所以在含有0.4%Fe和0.6%Mn的合金中可看到相当多的Al<sub>6</sub>Mn，但是在不含铁的二元合金中，如含有同量的锰时，并没有Al<sub>6</sub>Mn晶体，而且也看不見任何二元共晶。

当Al-Mn合金中同时有铁和矽的杂质时，所获得的组织又将不同。

第一次研究Al-Mn-Si平衡圖中铝角的是別克来②，除了Al<sub>6</sub>Mn和Si的晶体外，他还观察到三元化合物T，这种化合物能与锰和矽形成固溶体并结晶成立方晶系。弗拉格曼③将这个相从含有4%Mn和4%Si的合金中分离开，测出了它的成分为26.6%Mn；8%Si；余量为铜，符合分子式Al<sub>10</sub>Mn<sub>2</sub>Si（26.23%Mn；6.95%Si；66.82%Al），并证实了它的立方对称性。

Al<sub>10</sub>Mn<sub>2</sub>Si（T）形成了大量的骨骼状结晶，这些骨骼是由单个立方形晶体组成的（图6）。T相具有极高的显微硬度（H<sub>5μ</sub>=958公斤/公厘<sup>2</sup>）。



圖6 T相的晶体 (Al<sub>10</sub>Mn<sub>2</sub>Si) ×50

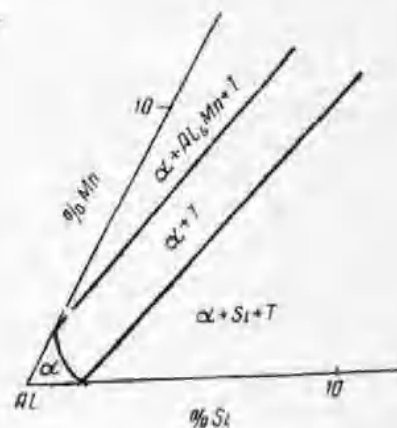


圖7 凝固后Al-Mn-Si系铝角中相区的分布 (費利浦氏)

准确的三元平衡圖是由費利浦氏、亞諾、什拉吉爾和哈尼曼④測定的。在平衡圖的铝角中有两个三相区 $\alpha+Al_6Mn+Al_{10}Mn_2Si$ 和 $\alpha+Al_{10}Mn_2Si+Si$ ，在两个三相区之间有二相区 $\alpha+Al_{10}Mn_2Si$ （图7）。二相区 $\alpha+Al_6Mn$ 和 $\alpha+Si$ 在該系中所占的位置是靠边的，并且是很窄狭的。在锰的一边，即使含矽量为0.1%时，也会出現Al<sub>10</sub>Mn<sub>2</sub>Si；而在矽的一边，当含锰量为0.1%时，也会出現Al<sub>10</sub>Mn<sub>2</sub>Si。由此就有可能根据晶格常数来测定两个三相区的固溶体中Mn或Si的含量。相应的数据见表1。

由于 $\alpha$ -固溶体的晶内偏析，所以三元共晶体 $\alpha-Al_{10}Mn_2Si-Si$ 当含矽量不大时就已经出现。在其晶体中 $\alpha$ ，Al<sub>10</sub>Mn<sub>2</sub>Si和Si的重量含量为：83.7% $\alpha$ ，5%Al<sub>10</sub>Mn<sub>2</sub>Si和11.3%Si。

① C.M. Воронов и В.И. Добавки, цветные Металлы, №5, 1945.

② H.Bückle, Aluminium-Arch.13, 1938.

③ G·phragmen, J·Inst·Metals, V.77, 1950, P.489—552

④ H.Jan, A.Schrader u.Hanemann, Fiat-Review of German Science, 31, 1946.

于不同的溫度下，在 $\alpha_2$ 和 $\alpha_3$ -固溶体中锰和矽的含量和晶格常数

表 1

含 量, %		相	淬火溫度, $^{\circ}\text{C}$	晶 格 常 数, $\text{\AA}$	相 应 含 量
Mn	Si				
1.28	0.1	$\alpha_2 + \text{Al}_5\text{Mn} + \text{Al}_{10}\text{Mn}_2\text{Si}$	400	4.0399	0.49% Mn
			500	4.0385	0.93% Mn
			620	4.0376	1.15% Mn
			647	外推法測定	1.3% Mn
0.5	2.1	$\alpha_3 + \text{Al}_{10}\text{Mn}_2\text{Si} + \text{Si}$	400	4.0412	0.14% Si
			500	4.0405	0.45% Si
			570	4.0388	1.19% Si
			575.5	外推法測定	1.3% Si

$\alpha$ -固溶体在結晶时一般是过饱和的，因此在鑄造合金中沒有析出物。随后在加热时，即从过饱和的固溶体中析出細晶粒或『柱狀』組元。在更高的溫度下加热使之呈平衡状态时，也不能使这些析出物完全溶解，且在合金的組織中，除了粗大的晶体外，还可觀察到細晶粒的 $\text{Al}_{10}\text{Mn}_2\text{Si}$ 晶体（圖 8）。

在含0.4—1% Si的Al-Mn-Si 合金中如有鐵时，就可能产生含鐵的相，譬如<sub>1</sub>  $\text{Al}_2\text{Fe}$ ,  $\text{Al}_{12}\text{Fe}_3\text{Si}$ 或 $\text{Al}_9\text{Fe}_2\text{Si}_2$ 。

但是哈尼曼和什拉吉爾却認為，鐵会溶入 $\text{Al}_{10}\text{Mn}_2\text{Si}$ 或 $\text{Al}_6\text{Mn}$ 內，所形成的含鐵晶体在相应的合金中極不易遇到。因此根据兩位研究者的数据，含少量鐵和矽杂质的合金的組織。一般是由初次 $\alpha$ -固溶体和共晶体 $\alpha-T$  ( $\text{Al}_{10}\text{Mn}_2\text{Si}$ ) 或 $\alpha$ 和 $T-Si$ 所組成。

在 C.M. 伏龙諾夫和 I.A. 采列林的早期研究工作中曾确定AMu合金中存在有鐵而沒有矽时，將形成粗大的層狀晶体  $\text{Al}_6$  ( $\text{Mn}-\text{Fe}$ )，因而对合金的鑄造性能和塑性的影响極坏。加入矽可使該相消失，且在半成品板材上是現出細小的結晶碎片。作者認為这是由于在軋压时能形成易碎的 $\text{Al}-\text{Fe}-\text{Si}$ 三元相的結果。根据哈尼曼和什拉吉爾的研究結果，这种解釋显然需要修正。

既然锰是硬鋁中常存的組元，就必须討論一下 Al-Cu-Mn 三元系。別特爾① 曾对该三元系的鉛角进行过研究并确定了三元相 T 的存在之后，弗拉格曼对 T 相晶体单独进行了研究，并测定出它們的成分为 12.8% Cu; 22.1% Mn; 65.1% Al。該成分接近于分子式  $\text{Al}_{12}\text{CuMn}_2$ 。列伊諾爾② 將 T 相写成分子式  $\text{Al}_4(\text{CuMn})$ ，而哈尼曼和什拉吉爾則將 T 相写成分子式  $\text{Al}_{20}\text{Cu}_2\text{Mn}_3$ 。

① H.G.Petri, Aluminium-Arch, 14, 1938.

② G.W.Raynor, J.Inst.Metals, V.70, 1944, P.507—529.

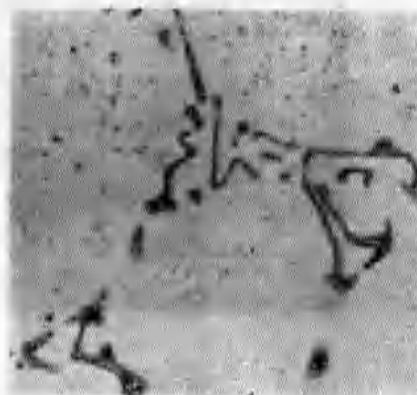


圖 8 含 1.59% Mn 和 0.75% Si 的合金的顯微組織。在砂模中鑄造，在 570°C 时退火 3 天並淬火。腐蝕剂—0.5% HF。  
×300. 相:  $\alpha+T$ 。